

Oasis montaj 2026.1

nueva versión



Oasis montaj 2026.1

La versión Oasis montaj 2026.1 incorpora actualizaciones que reducen la cantidad de pasos en los flujos de trabajo habituales y facilitan la organización de datos, la navegación en mapas y la inspección del procesamiento radiométrico.

Índice

Funciones nuevas y mejoradas	3
<hr/>	
Reordenar y editar canales en menos pasos	3
Hacer zoom de forma directa al área de trabajo	3
Extensión de procesamiento radiométrico	4
Suavizar e inspeccionar espectros	4
Elegir la configuración del filtro NASVD de forma visual	4
Alinear picos de energía radiométrica	5
Comparar espectros y revisar datos con mayor facilidad	5
<hr/>	
Corrección de errores	6
<hr/>	
Oasis montaj	6
Target	6
Geosoft Viewer	7

Funciones nuevas y mejoradas

Reordenar y editar canales en menos pasos

Reordene y actualice varios canales en una sola acción, en lugar de gestionarlos uno por uno.

Se actualizó el trabajo con canales de bases de datos para poder gestionar varios canales en conjunto, en lugar de hacerlo de manera individual. Seleccione varios canales con el mouse, pulse la tecla Ctrl o Shift, y reordénelos en un solo paso mediante la función de arrastrar y soltar, o ubíquelos con respecto a otros canales mediante las opciones de movimiento. La protección de canales y sus propiedades (clase, unidades y configuración de visualización) también pueden actualizarse en todos los canales seleccionados a la vez.

Una nueva opción, Remove Channel (Quitar canal), oculta los canales seleccionados y retira las columnas vacías de la vista en un solo paso. Los datos del canal permanecen en la base de datos, salvo que se eliminen de manera explícita.

L11:0	UTM_X_1183	UTM_Y_1183	MAGRAW	MAGLEV	SRVMGLEV	SrvMgLev_lag	leverr	dist	leverr_filt	g_FFTmicrol	UTM_X
0.0	1387313.60	6154628.67	60892.14	-142.90	60838.14	60835.59	0.52	0.00	1.56	60834.0	138
1.0	1387347.79	6154636.69	60889.59	-145.54	60835.59	60833.28	0.49	35.12	1.58	60831.7	138
2.0	1387382.19	6154643.61	60887.28	-147.92	60833.28	60831.39	0.42	70.21	1.61	60829.8	138
3.0	1387415.75	6154651.50	60885.39	-149.89	60831.39	60830.00	0.37	104.68	1.63	60828.4	138
4.0	1387450.57	6154659.65	60884.00	-151.36	60830.00	60829.08	0.40	140.45	1.66	60827.4	138
5.0	1387484.76	6154667.67	60883.08	-152.36	60829.08	60828.55	0.47	175.56	1.68	60826.9	138
6.0	1387519.58	6154675.82	60882.55	-152.97	60828.55	60828.27	0.55	211.33	1.71	60826.6	138
7.0	1387553.13	6154683.71	60882.27	-153.31	60828.27	60828.15	0.61	245.79	1.73	60826.4	138
8.0	1387587.32	6154691.73	60882.15	-153.50	60828.15	60828.11	0.66	280.91	1.76	60826.4	138
9.0	1387621.51	6154699.75	60882.11				0.72	316.02	1.78	60826.4	138
10.0	1387656.55	6154706.80	60882.14				0.79	351.77	1.80	60826.4	138
11.0	1387690.11	6154714.69	60882.24				0.85	386.24	1.82	60826.6	138
12.0	1387724.93	6154722.84	60882.41				0.92	422.00	1.84	60826.8	138
13.0	1387758.48	6154730.74	60882.63				0.96	456.47	1.86	60827.0	138
14.0	1387792.89	6154737.66	60882.88				1.01	491.57	1.88	60827.2	138
15.0	1387827.71	6154745.81	60883.12				1.06	527.33	1.90	60827.4	138
16.0	1387861.48	6154752.60	60883.31				1.10	561.78	1.92	60827.5	138
17.0	1387895.67	6154760.63	60883.43				1.14	596.90	1.94	60827.5	138
18.0	1387929.86	6154768.65	60883.48				1.14	632.02	1.96	60827.5	138
19.0	1387964.68	6154776.80	60883.50				1.15	667.78	1.98	60827.5	138
20.0	1387998.23	6154784.70	60883.48				1.17	702.25	2.00	60827.5	138
21.0	1388033.06	6154792.85	60883.48				1.19	738.01	2.01	60827.5	138
22.0	1388066.83	6154799.65	60883.52				1.21	772.46	2.03	60827.6	138
23.0	1388101.65	6154807.80	60883.61				1.23	808.23	2.04	60827.7	138
24.0	1388135.84	6154815.82	60883.78				1.26	843.34	2.06	60828.0	138
25.0	1388170.25	6154822.75	60884.04				1.31	878.44	2.07	60828.3	138
26.0	1388204.21	6154831.88	60884.39	-152.90	60830.39	60830.84	1.35	913.61	2.09	60828.8	138
27.0	1388238.62	6154838.80	60884.84	-152.55	60830.84	60831.42	1.43	948.71	2.10	60829.3	138
28.0	1388272.81	6154846.83	60885.42	-152.05	60831.42	60832.14	1.47	983.83	2.11	60830.0	138
29.0	1388307.85	6154853.88	60886.14	-151.40	60832.14	60833.01	1.55	1019.58	2.13	60830.9	138
30.0	1388342.26	6154860.81	60887.01	-150.59	60833.01	60834.04	1.63	1054.67	2.14	60831.9	138
31.0	1388376.03	6154867.60	60888.04	-149.62	60834.04	60835.19	1.72	1089.12	2.15	60833.0	138
32.0	1388411.08	6154874.66	60889.19	-148.49	60835.19	60836.46	1.81	1124.87	2.16	60834.3	138
33.0	1388445.49	6154881.59	60890.46	-147.26	60836.46	60837.80	1.91	1159.97	2.17	60835.6	138
34.0	1388479.67	6154889.61	60891.80	-145.94	60837.80	60839.22	1.97	1195.09	2.18	60837.0	138
35.0	1388514.72	6154896.67	60893.22	-144.55	60839.22	60840.76	2.06	1230.83	2.19	60838.6	138
36.0	1388549.12	6154903.60	60894.76	-143.02	60840.76	60842.51	2.15	1265.82	2.20	60840.2	138

Edit Channels ? X

Editing 3 channel(s). Changes will apply to all selected channels.

Class

Units

Protected

Display

Format

Field width

Decimals

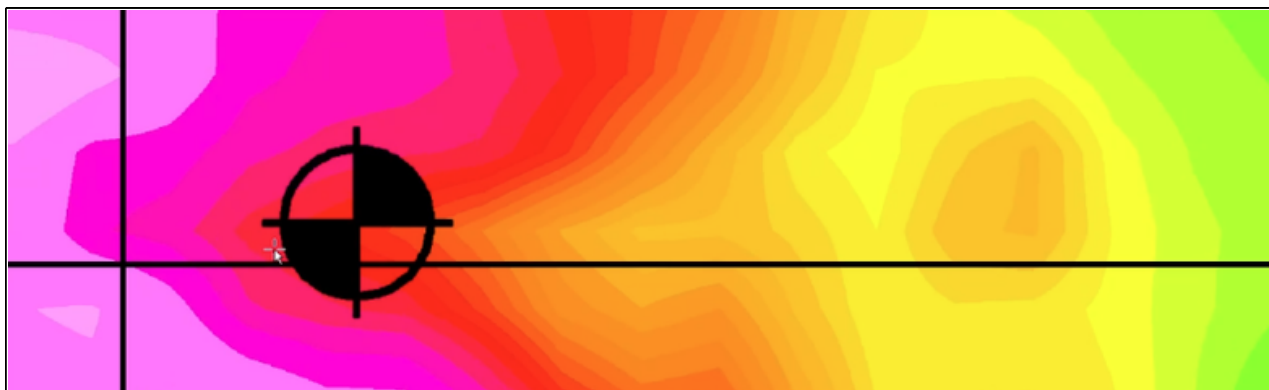
OK Cancel

Hacer zoom de forma directa al área de trabajo

Amplíe la parte del mapa o del visor de cuadrícula que está en foco sin tener que reposicionar la vista una y otra vez.

Se actualizó la navegación por el mapa, de modo que ahora, al hacer zoom con la rueda del mouse, la imagen se centra de manera predeterminada en la ubicación del cursor. Esto permite un desplazamiento más veloz por el mapa y un enfoque directo en áreas específicas sin trazar un recuadro de zoom.

El comportamiento de zoom-hacia-el centro sigue disponible en Advanced Settings (Configuración avanzada), donde también puede configurarse la dirección de la rueda del mouse.



Extensión de procesamiento radiométrico

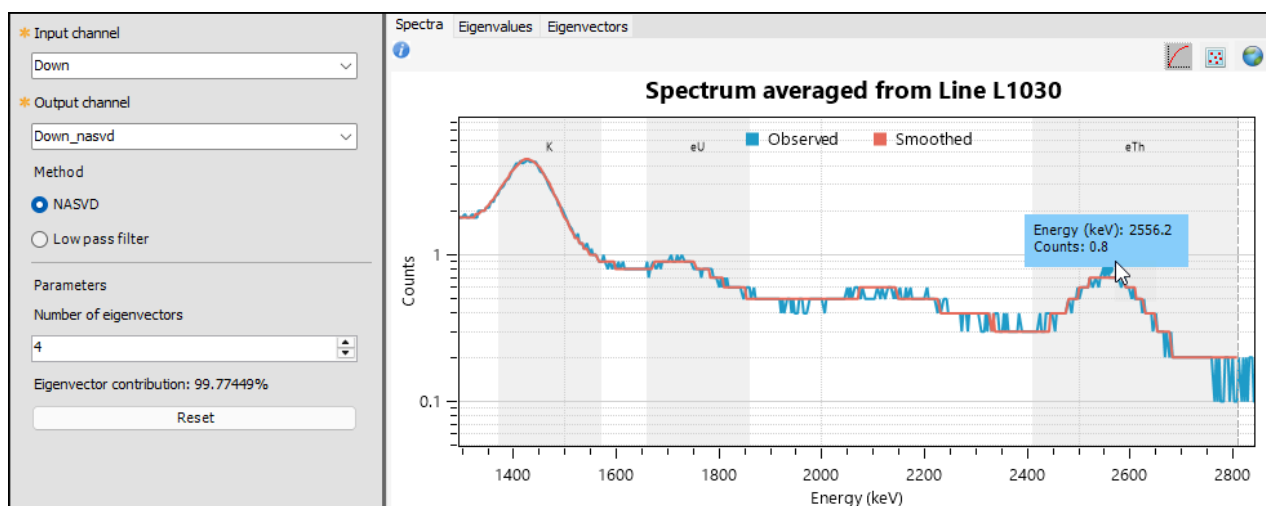
Estas actualizaciones se aplican al trabajar con datos radiométricos aerotransportados mediante la Extensión de procesamiento radiométrico, desarrollada en colaboración con Medusa Radiometrics.

Suavizar e inspeccionar espectros

Visualice con precisión dónde se aplica el suavizado al trabajar con datos espectrales.

Al suavizar espectros, por ejemplo con NASVD, se resalta el punto seleccionado en la curva espectral original o suavizada. Esto permite identificar con claridad qué valor se está seleccionando al revisar los datos espectrales.

Esta actualización mejora la visibilidad al trabajar de manera directa con datos espectrales, sin modificar la forma en que se aplica el suavizado.

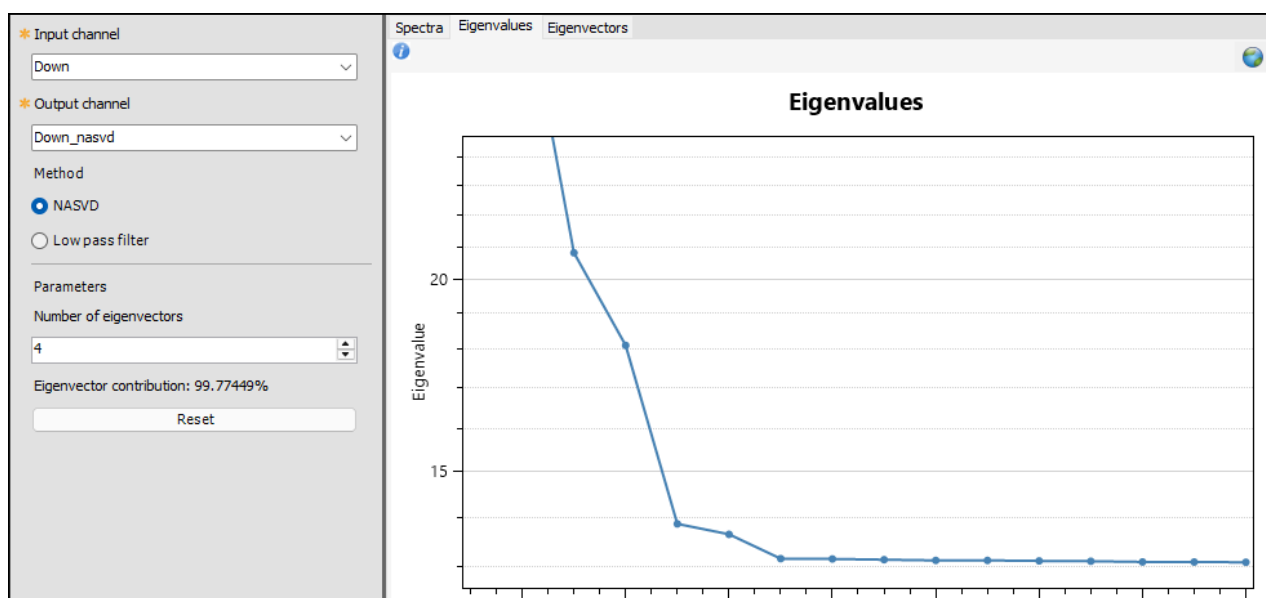


Elegir la configuración del filtro de suavizado (NASVD) de forma visual

Seleccione la configuración del filtro mediante gráficos que muestran el comportamiento de los datos.

Se han incorporado herramientas adicionales para seleccionar los parámetros óptimos del filtro al usar el suavizado NASVD. El gráfico de valores propios ahora admite zoom para inspeccionar los puntos de inflexión con mayor detalle. Los gráficos de vectores propios ofrecen una forma adicional de revisar y elegir un parámetro de filtro.

Los coeficientes propios también se guardan en la base de datos; estos pueden utilizarse para crear una cuadrícula y examinarse como parte del flujo de trabajo de análisis en caso de que los gráficos de valores propios y los vectores propios no sean suficientes. Estas actualizaciones facilitan el paso de selección sin modificar la forma en que se aplica el filtro.

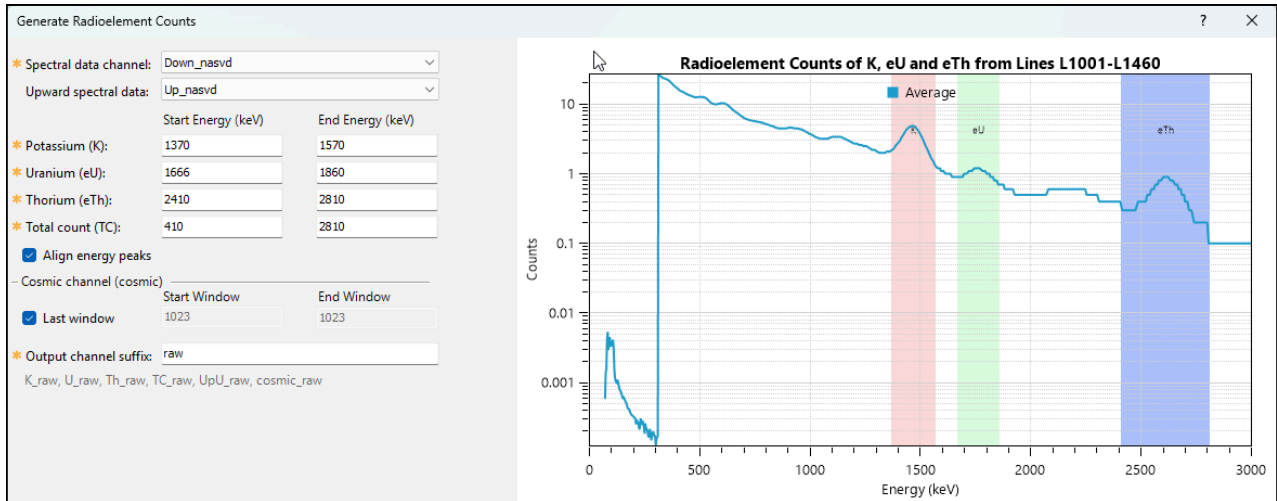


Alinear picos de energía radiométrica

Alinee los picos de energía de los espectros con las ventanas estándar de radioelementos.

Una nueva opción permite alinear los picos de energía radiométrica al trabajar con espectros medidos para generar los conteos individuales de radioelementos. Los picos de radioelementos pueden estar desplazados respecto de los valores estándar debido a pequeñas diferencias en la calibración del sensor.

Se aplica una corrección lineal para alinear los picos medidos dentro de las ventanas radiométricas estándar. Los picos alineados se utilizan al generar las salidas de canales de elementos dentro del flujo de trabajo existente.

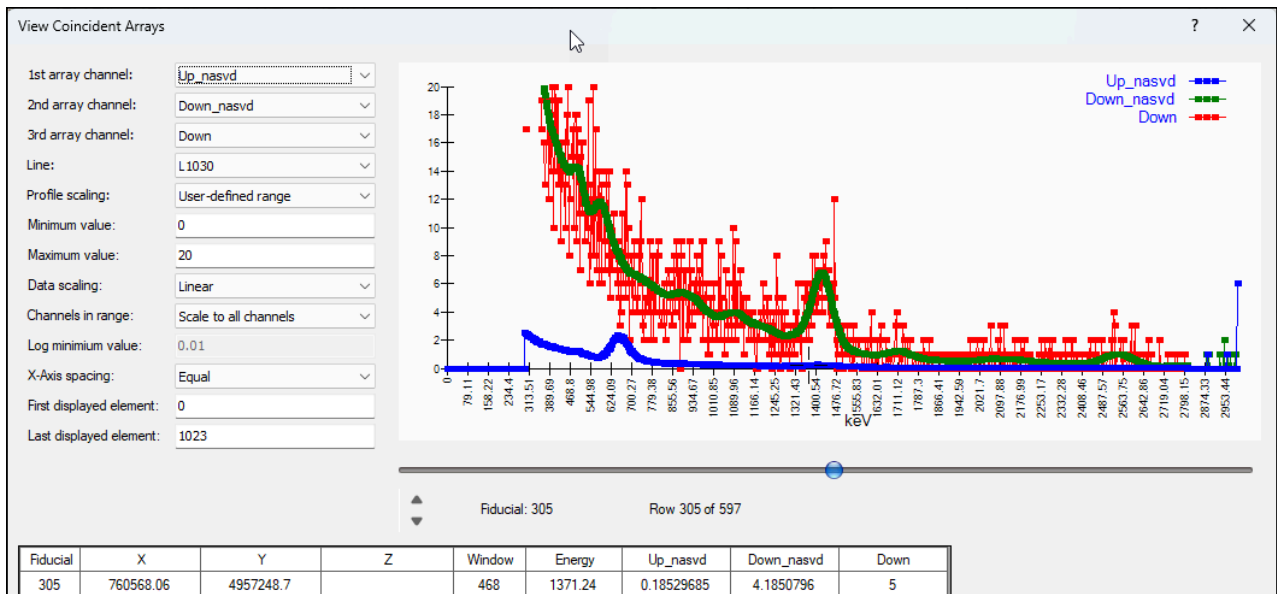


Comparar espectros y revisar datos con mayor facilidad

Compare múltiples espectros y continúe el procesamiento sin interrupciones para ajustar la base de datos.

Se han incorporado herramientas adicionales para la inspección y comparación de datos radiométricos. La herramienta View Coincident Arrays (Ver matrices coincidentes) permite comparar hasta tres espectros a la vez en una sola vista. Los espectros de energía también pueden comprimirse para facilitar la comparación entre conjuntos de datos que utilizan espectros de distintos tamaños.

Además, durante el procesamiento, las herramientas de procesamiento radiométrico expanden de manera automática la base de datos cuando es necesario, lo que elimina la necesidad de la redimensión manual.



Corrección de errores

Oasis montaj 2026.1

Se corrigieron los siguientes problemas en Oasis montaj 2026.1:

General

CN: N/A	La nueva opción de base de datos Remove Channel (Quitar canal) oculta el canal y retira la columna vacía de la vista, lo que permite que los datos restantes ocupen el espacio de manera automática.
CN: N/A	El error "iFindDum_VV: Invalid Start Element Value" (iFindDum_VV: valor de elemento inicial no válido) ya no se produce al visualizar símbolos 3D en la vista 3D. Se omiten las líneas con datos de elevación no válidos y se muestra un mensaje informativo.
CN: N/A	En View Coincident Arrays (Ver matrices coincidentes), los datos de las matrices ahora se grafican de manera correcta cuando los canales secundarios o terciarios utilizan escalado de perfil definido por el usuario.
CN: 00118102	Las herramientas Knit Grids (Unir cuadrículas) —GRIDSTCH GX y GRIDSTCH2 GX— ahora funcionan de manera correcta con cuadrículas en distintas proyecciones; tanto la cuadrícula de salida como todas las cuadrículas de entrada posteriores heredan la proyección de la primera cuadrícula de entrada.
CN: 00245354	En el cuadro de diálogo Orient a Grid (Orientar una cuadrícula) —menú 3D View (Vista 3D)—, al presionar Enter ahora se ejecuta el comando [OK], en lugar de restaurar la configuración predeterminada y restablecer los valores ingresados por el usuario.
CN: 00295144	Al exportar un mapa a un PDF geoespacial, el archivo resultante ahora conserva la información geoespacial del mapa de forma correcta.
CN: 00302798	La reproyección de una cuadrícula mediante un script GS ahora funciona según lo esperado y ya no genera un error de análisis XML.

UXA

CN: 00299022	En AGC Static Data (Datos estáticos AGC), la herramienta Sensor Function Test (Prueba de funcionamiento del sensor) ahora realiza la verificación de control de calidad de saturación en datos HDF v1 de manera correcta.
CN: 00299022	En Static and Dynamic Data Processing (Procesamiento de datos estáticos y dinámicos), al importar archivos HDF v0/v1, se resolvió un problema que impedía completar varios canales de datos del sensor en lotes posteriores.

Target 2026.1

Se corrigieron los siguientes problemas en Target 2026.1:

General

CN: N/A	La nueva opción de base de datos Remove Channel (Quitar canal) oculta el canal y retira la columna vacía de la vista, lo que permite que los datos restantes ocupen el espacio de manera automática.
CN: N/A	El error "iFindDum_VV: Invalid Start Element Value" (iFindDum_VV: valor de elemento inicial no válido) ya no se produce al visualizar símbolos 3D en la vista 3D. Se omiten las líneas con datos de elevación no válidos y se muestra un mensaje informativo.
CN: N/A	En View Coincident Arrays (Ver matrices coincidentes), los datos de las matrices ahora se grafican de manera correcta cuando los canales secundarios o terciarios utilizan escalado de perfil definido por el usuario.
CN: 00118102	Las herramientas Knit Grids (Unir cuadrículas) —GRIDSTCH GX y GRIDSTCH2 GX— ahora funcionan de manera correcta con cuadrículas en distintas proyecciones; tanto la cuadrícula de salida como todas las cuadrículas de entrada posteriores heredan la proyección de la primera cuadrícula de entrada.
CN: 00245354	En el cuadro de diálogo Orient a Grid (Orientar una cuadrícula) —menú 3D View (Vista 3D)—, al presionar Enter ahora se ejecuta el comando [OK], en lugar de restaurar la configuración predeterminada y restablecer los valores ingresados por el usuario.
CN: 00295144	Al exportar un mapa a un PDF geoespacial, el archivo resultante ahora conserva la información geoespacial del mapa de forma correcta.
CN: 00302798	La reproyección de una cuadrícula mediante un script GS ahora funciona según lo esperado y ya no genera un error de análisis XML.

Geosoft Viewer 2026.1

Se corrigieron los siguientes problemas en Geosoft Viewer 2026.1:

General

CN: N/A	La nueva opción de base de datos Remove Channel (Quitar canal) oculta el canal y retira la columna vacía de la vista, lo que permite que los datos restantes ocupen el espacio de manera automática.
---------	--

CN: N/A	El error "iFindDum_VV: Invalid Start Element Value" (iFindDum_VV: valor de elemento inicial no válido) ya no se produce al visualizar símbolos 3D en la vista 3D. Se omiten las líneas con datos de elevación no válidos y se muestra un mensaje informativo.
---------	---

CN: 00295144	Al exportar un mapa a un PDF geoespacial, el archivo resultante ahora conserva la información geoespacial del mapa de manera correcta.
--------------	--